

Starkniederschlagshöhen und -spenden gemäß KOSTRA-DWD-2010R

Auswertungszeitraum von 1951 - 2010, Januar - Dezember

Rasterfeld: 29064

Zeile: 29

Spalte: 64

Seite: 1/2

| Dauerstufe D | | Wiederkehrzeit T | | | | | | | | | | | | | | | | | |
|--------------|-----|------------------|------------|------|------------|------|------------|------|------------|------|------------|-------|------------|-------|------------|-------|------------|-------|------------|
| | | 1 a | | 2 a | | 3 a | | 5 a | | 10 a | | 20 a | | 30 a | | 50 a | | 100 a | |
| min | Std | mm | l / (s ha) | mm | l / (s ha) | mm | l / (s ha) | mm | l / (s ha) | mm | l / (s ha) | mm | l / (s ha) | mm | l / (s ha) | mm | l / (s ha) | mm | l / (s ha) |
| 5 | | 5,2 | 173,3 | 6,8 | 226,7 | 7,7 | 256,7 | 8,9 | 296,7 | 10,5 | 350,0 | 12,1 | 403,3 | 13,0 | 433,3 | 14,2 | 473,3 | 15,7 | 523,3 |
| 10 | | 8,0 | 133,3 | 10,2 | 170,0 | 11,4 | 190,0 | 13,0 | 216,7 | 15,2 | 253,3 | 17,4 | 290,0 | 18,6 | 310,0 | 20,2 | 336,7 | 22,4 | 373,3 |
| 15 | | 9,7 | 107,8 | 12,3 | 136,7 | 13,8 | 153,3 | 15,7 | 174,4 | 18,3 | 203,3 | 21,0 | 233,3 | 22,5 | 250,0 | 24,4 | 271,1 | 27,0 | 300,0 |
| 20 | | 10,9 | 90,8 | 13,8 | 115,0 | 15,6 | 130,0 | 17,8 | 148,3 | 20,7 | 172,5 | 23,7 | 197,5 | 25,4 | 211,7 | 27,6 | 230,0 | 30,6 | 255,0 |
| 30 | | 12,3 | 68,3 | 15,9 | 88,3 | 18,0 | 100,0 | 20,6 | 114,4 | 24,2 | 134,4 | 27,7 | 153,9 | 29,8 | 165,6 | 32,5 | 180,6 | 36,0 | 200,0 |
| 45 | | 13,6 | 50,4 | 17,9 | 66,3 | 20,4 | 75,6 | 23,5 | 87,0 | 27,8 | 103,0 | 32,1 | 118,9 | 34,6 | 128,1 | 37,7 | 139,6 | 42,0 | 155,6 |
| 60 | | 14,3 | 39,7 | 19,2 | 53,3 | 22,0 | 61,1 | 25,6 | 71,1 | 30,5 | 84,7 | 35,4 | 98,3 | 38,2 | 106,1 | 41,8 | 116,1 | 46,7 | 129,7 |
| 90 | | 15,7 | 29,1 | 21,2 | 39,3 | 24,4 | 45,2 | 28,4 | 52,6 | 33,9 | 62,8 | 39,3 | 72,8 | 42,5 | 78,7 | 46,5 | 86,1 | 52,0 | 96,3 |
| 120 | 2 | 16,8 | 23,3 | 22,7 | 31,5 | 26,2 | 36,4 | 30,5 | 42,4 | 36,5 | 50,7 | 42,4 | 58,9 | 45,9 | 63,8 | 50,2 | 69,7 | 56,1 | 77,9 |
| 180 | 3 | 18,5 | 17,1 | 25,1 | 23,2 | 29,0 | 26,9 | 33,9 | 31,4 | 40,5 | 37,5 | 47,1 | 43,6 | 51,0 | 47,2 | 55,9 | 51,8 | 62,5 | 57,9 |
| 240 | 4 | 19,7 | 13,7 | 26,9 | 18,7 | 31,1 | 21,6 | 36,4 | 25,3 | 43,6 | 30,3 | 50,8 | 35,3 | 55,0 | 38,2 | 60,3 | 41,9 | 67,5 | 46,9 |
| 360 | 6 | 21,7 | 10,0 | 29,7 | 13,8 | 34,4 | 15,9 | 40,4 | 18,7 | 48,4 | 22,4 | 56,5 | 26,2 | 61,2 | 28,3 | 67,1 | 31,1 | 75,2 | 34,8 |
| 540 | 9 | 23,8 | 7,3 | 32,8 | 10,1 | 38,1 | 11,8 | 44,8 | 13,8 | 53,8 | 16,6 | 62,8 | 19,4 | 68,1 | 21,0 | 74,7 | 23,1 | 83,8 | 25,9 |
| 720 | 12 | 25,5 | 5,9 | 35,2 | 8,1 | 41,0 | 9,5 | 48,2 | 11,2 | 57,9 | 13,4 | 67,7 | 15,7 | 73,4 | 17,0 | 80,7 | 18,7 | 90,4 | 20,9 |
| 1080 | 18 | 28,0 | 4,3 | 38,9 | 6,0 | 45,3 | 7,0 | 53,4 | 8,2 | 64,4 | 9,9 | 75,3 | 11,6 | 81,7 | 12,6 | 89,8 | 13,9 | 100,8 | 15,6 |
| 1440 | 24 | 29,9 | 3,5 | 41,8 | 4,8 | 48,7 | 5,6 | 57,5 | 6,7 | 69,4 | 8,0 | 81,2 | 9,4 | 88,2 | 10,2 | 96,9 | 11,2 | 108,8 | 12,6 |
| 2880 | 48 | 35,5 | 2,1 | 49,2 | 2,8 | 57,2 | 3,3 | 67,2 | 3,9 | 80,9 | 4,7 | 94,6 | 5,5 | 102,6 | 5,9 | 112,7 | 6,5 | 126,4 | 7,3 |
| 4320 | 72 | 39,2 | 1,5 | 53,9 | 2,1 | 62,6 | 2,4 | 73,4 | 2,8 | 88,1 | 3,4 | 102,9 | 4,0 | 111,5 | 4,3 | 122,4 | 4,7 | 137,1 | 5,3 |

Angaben in mm: Bemessungsniederschlagswerte h(n)

Angaben in l / (s ha): Regenspende R(n) mit $R(n) = h(n) \times 1,666667 / D[\text{min}]$

Toleranzbereiche:

+/- 10 % für $1 \text{ a} \leq T \leq 5 \text{ a}$

+/- 15 % für $5 \text{ a} < T \leq 50 \text{ a}$

+/- 20 % für $50 \text{ a} < T \leq 100 \text{ a}$

Datenbasis: KOSTRA-DWD-2010R des Deutschen Wetterdienstes. Die Regenspende wurde auf Basis des Bemessungsniederschlags zur jeweiligen Andauer berechnet.

Für die Richtigkeit und Aktualität der Angaben wird keine Gewähr übernommen. Erstellt 07/2022.

Starkniederschlagshöhen und -spenden gemäß KOSTRA-DWD-2010R

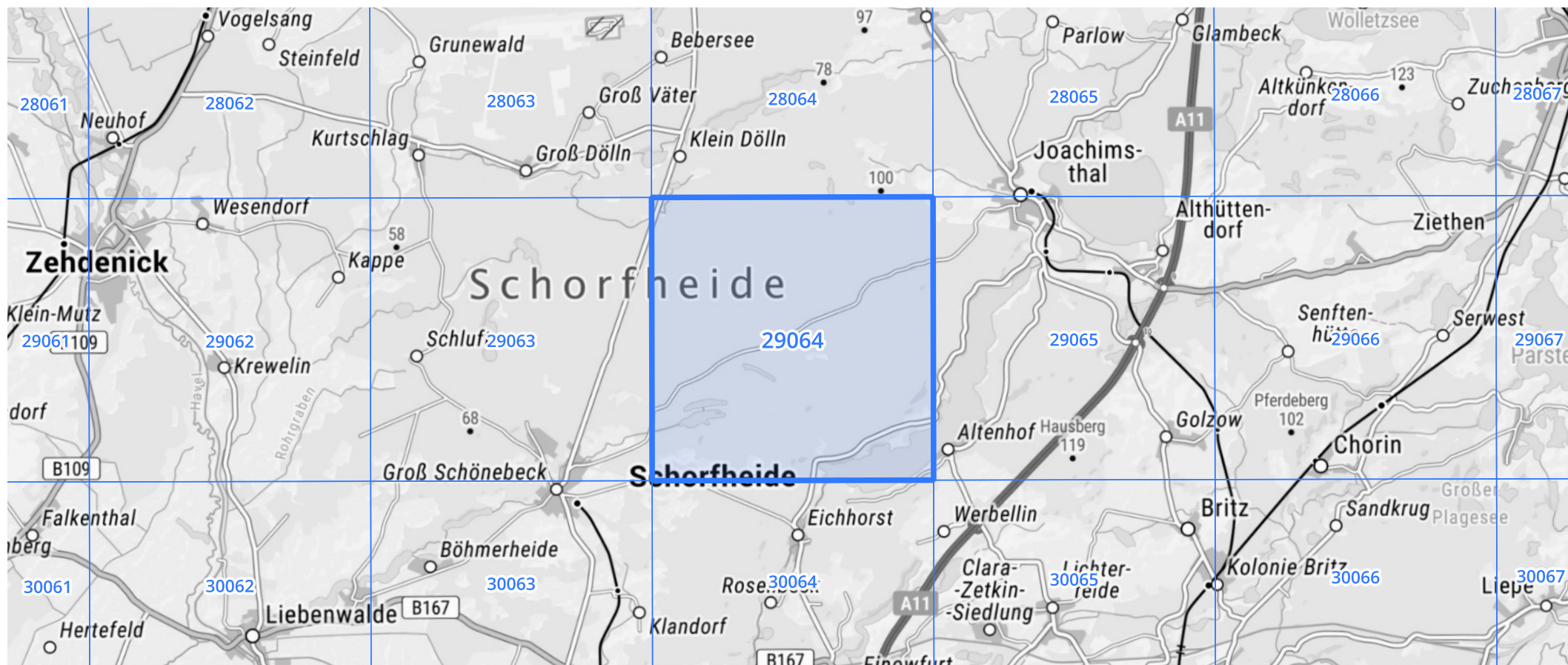
Auswertungszeitraum von 1951 - 2010, Januar - Dezember

Rasterfeld: 29064

Zeile: 29

Spalte: 64

Seite: 2/2



Quelle Rasterdaten: KOSTRA-DWD-2010R des Deutschen Wetterdienstes.

Kartendarstellung: © Bundesamt für Kartographie und Geodäsie (2022), Datenquellen: https://sgx.geodatenzentrum.de/web_public/gdz/datenquellen/Datenquellen_TopPlusOpen.html

Für die Richtigkeit und Aktualität der Angaben wird keine Gewähr übernommen. Erstellt 07/2022.